

# Ronde vloerroosters

## WFO WFOV



### Introductie

Het vloerrooster WFO is een rond vloerrooster. Het rooster is vervaardigd uit polycarbonaat. Het binnenste deel van het rooster bestaat uit een losse schijf welke omkeerbaar is. Het is hierdoor mogelijk om het rooster horizontaal of wervelend uit te laten blazen. De goede aerodynamische eigenschappen zorgen voor het lage geluidsniveau. De standaard kleur van het rooster is neutraal grijs. Het rooster is geschikt voor montage in een verhoogde systeemvloer of voor montage in een betonvloer. De diverse accessoires en het luchttoevoerplenum completeren de range. De maximale puntbelasting bedraagt 500 kg. De aansluitingen zijn conform de Eurovent normen.

### Productomschrijving

- WFO** Rooster voor montage in verhoogde vloer  
Geschikt voor vloeren van 23 tot 50mm dik  
Montage m.b.v. een bevestigingsring
- WFOS** Rooster met metalen doorvoerkoker
- WFOP** Rooster met luchttoevoerplenum. De aansluiting is geschikt voor zowel  $\varnothing 100$  als  $\varnothing 125$ mm
- WFOD** Rooster voor montage als inlegrooster

### Eigenschappen

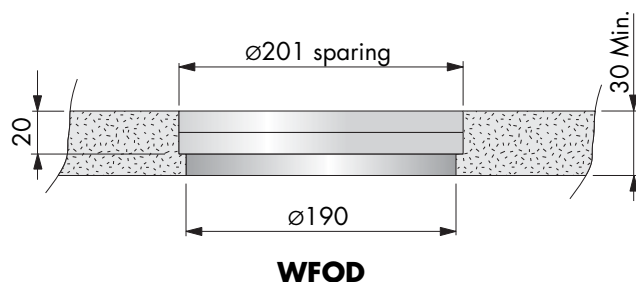
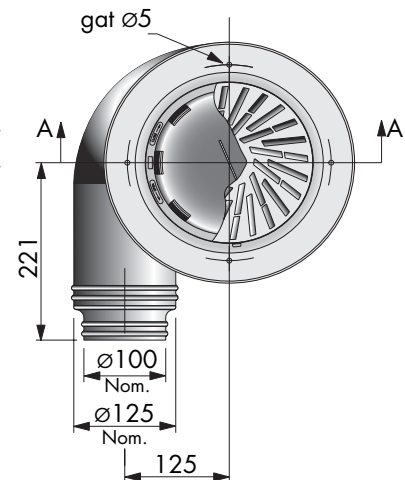
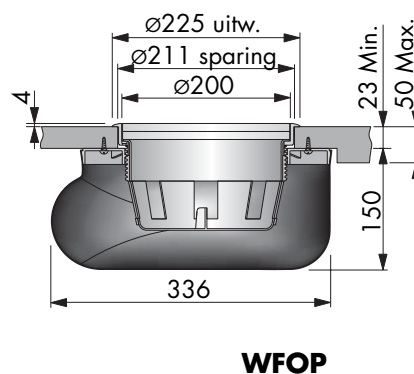
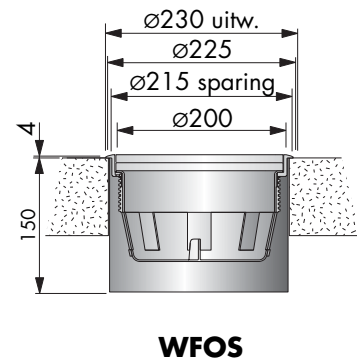
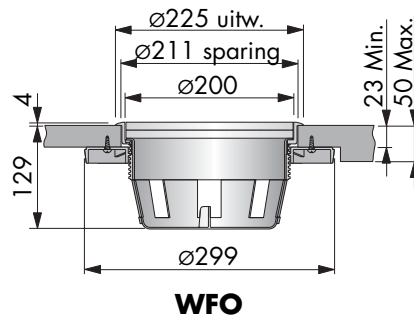
- Toe- en afvoeren van isotherme, gekoelde en verwarmde lucht
- Hoog inductievoud
- Horizontaal of wervelend uitblazend
- Geschikt voor systeem- en constructievloeren
- Goede aerodynamische eigenschappen
- Twee aansluitdiameters op het plenum
- Eenvoudig te monteren
- Geheel van kunststof

### Afwerking

Grijs kunststof (RAL 7037)  
Plenum zwart kunststof  
Andere kleuren op aanvraag mogelijk indien het om grote hoeveelheden gaat

### Afmetingen

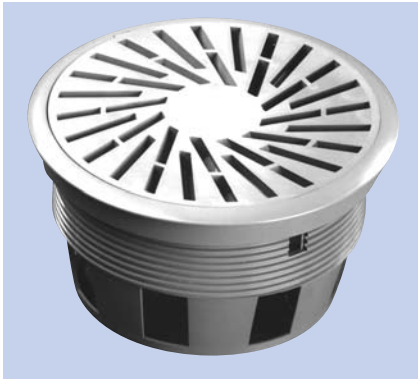
Zie tekeningen



### Bestelvoorbeeld

**WFOP**

Rooster type \_\_\_\_\_  
Optie \_\_\_\_\_



### Selectie voorbeeld

#### WFO

(Horizontaal inblazend)

$q_v$  (luchthoeveelheid) 100 m<sup>3</sup>/h of 28 l/s

T (worp) 1,5 meters

$P_s$  (drukverlies) 54 Pa

$L_p$  (geluidsdrumniveau) NR 33

### Selectie tabel

| WFO               |     | Horizontaal |          |      | Verticaal |          |      | Retour |     |
|-------------------|-----|-------------|----------|------|-----------|----------|------|--------|-----|
| m <sup>3</sup> /h | l/s |             | Isotherm | -3°C | -6°C      | Isotherm | -3°C | -6°C   |     |
| 50                | 14  | T           | 0,7      | 1,5  | 1,0       | 1,0      | 0,7  | 0,9    |     |
|                   |     | $P_s$       | 14       | 14   | 14        | 14       | 14   | 14     | 14  |
|                   |     | $L_p$       | -        | -    | -         | -        | -    | -      | -   |
| 60                | 17  | T           | 0,8      | 1,6  | 1,1       | 1,3      | 0,9  | 1,2    |     |
|                   |     | $P_s$       | 19       | 19   | 19        | 19       | 19   | 19     | 19  |
|                   |     | $L_p$       | 20       | 20   | 20        | -        | -    | -      | -   |
| 70                | 19  | T           | 1,0      | 1,7  | 1,3       | 1,5      | 1,0  | 1,4    |     |
|                   |     | $P_s$       | 27       | 27   | 27        | 27       | 27   | 27     | 27  |
|                   |     | $L_p$       | 25       | 25   | 25        | 22       | 22   | 22     | 21  |
| 80                | 22  | T           | 1,2      | 1,9  | 1,5       | 1,8      | 1,2  | 1,7    |     |
|                   |     | $P_s$       | 35       | 35   | 35        | 35       | 35   | 35     | 35  |
|                   |     | $L_p$       | 29       | 29   | 29        | 26       | 26   | 26     | 24  |
| 90                | 25  | T           | 1,3      | 2,0  | 1,6       | 2,0      | 1,4  | 1,9    |     |
|                   |     | $P_s$       | 44       | 44   | 44        | 44       | 44   | 44     | 44  |
|                   |     | $L_p$       | 31       | 31   | 31        | 28       | 28   | 28     | 26  |
| 100               | 28  | T           | 1,5      | 2,2  | 1,8       | 2,3      | 1,7  | 2,2    |     |
|                   |     | $P_s$       | 54       | 54   | 54        | 54       | 54   | 54     | 54  |
|                   |     | $L_p$       | 33       | 33   | 33        | 30       | 30   | 30     | 28  |
| 110               | 31  | T           | 1,6      | 2,3  | 1,9       | 2,5      | 1,9  | 2,4    |     |
|                   |     | $P_s$       | 61       | 61   | 61        | 61       | 61   | 61     | 61  |
|                   |     | $L_p$       | 35       | 35   | 35        | 32       | 32   | 32     | 30  |
| 120               | 33  | T           | 1,7      | 2,4  | 2,0       | 2,7      | 2,1  | 2,6    |     |
|                   |     | $P_s$       | 70       | 70   | 70        | 70       | 70   | 70     | 70  |
|                   |     | $L_p$       | 37       | 37   | 37        | 34       | 34   | 34     | 32  |
| 130               | 36  | T           | 1,8      | 2,6  | 2,1       | 3,0      | 2,3  | 2,9    |     |
|                   |     | $P_s$       | 81       | 81   | 81        | 81       | 81   | 81     | 81  |
|                   |     | $L_p$       | 39       | 39   | 39        | 36       | 36   | 36     | 34  |
| 140               | 39  | T           | 1,9      | 2,7  | 2,3       | 3,2      | 2,5  | 3,1    |     |
|                   |     | $P_s$       | 90       | 90   | 90        | 90       | 90   | 90     | 90  |
|                   |     | $L_p$       | 41       | 41   | 41        | 38       | 38   | 38     | 36  |
| 150               | 42  | T           | 2,1      | 2,9  | 2,5       | 3,5      | 2,7  | 3,4    |     |
|                   |     | $P_s$       | 110      | 110  | 110       | 110      | 110  | 110    | 110 |
|                   |     | $L_p$       | 43       | 43   | 43        | 40       | 40   | 40     | 38  |